

Modèles graphiques probabilistes

Francis Bach

Centre de Morphologie Mathématique

Ecole des Mines de Paris



MINES PARIS

Mai 2006

Modèles graphiques probabilistes

Modèle graphique probabiliste = représentation graphique d'un ensemble de lois de probabilité multivariées

- Modularité
 - Gestion de la complexité
- Modèle probabiliste
 - flexibilité d'utilisation (inférence et apprentissage)
- Formalisme commun à de nombreux modèles/domaines
 - Transferts : théorie/applications, théorie/théorie

Modèles graphiques probabilistes

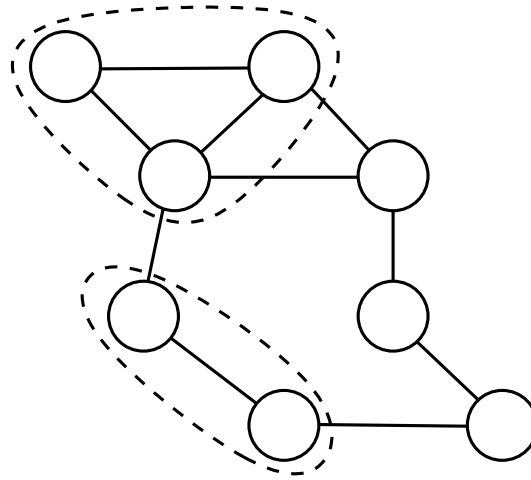
Plan de la présentation

- Définition
- Inférence
- Apprentissage
 - Paramètres
 - Structure
- Applications et perspectives

Modèle graphique

- Variables aléatoires: $X = (X_1, \dots, X_n)$
- Modèle graphique = structure (graphe) + collection de lois locales
- Graphe
 - Sommets \sim variables
 - Absence d'arêtes \sim indépendances conditionnelles
- Deux grandes familles:
 - Graphe orienté
 - Graphe non orienté

Modèle graphique non orienté (champ de Markov)

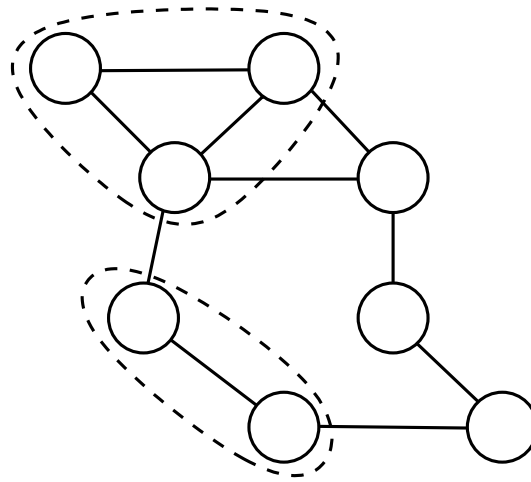


- Graphe, cliques

- (1) Loi factorisée:
$$p(x) = \frac{1}{Z} \prod_{j=1}^p \phi_{C_j}(x_{C_j})$$

Z est une constante de normalisation

Modèle graphique non orienté (champ de Markov)



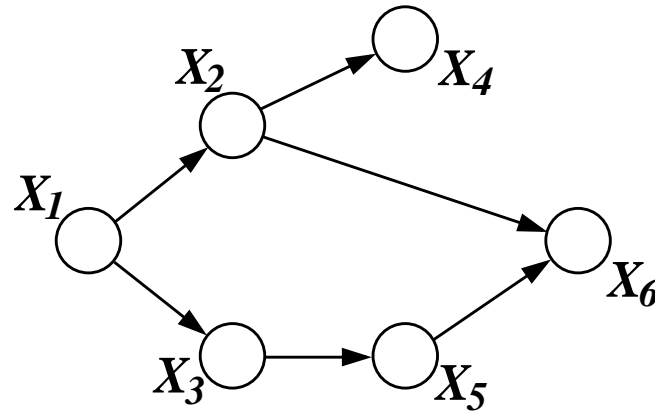
- Graphe, cliques

- (1) Loi factorisée:
$$p(x) = \frac{1}{Z} \prod_{j=1}^p \phi_{C_j}(x_{C_j})$$

Z est une constante de normalisation

- (2) Indépendances conditionnelles: sachant ses voisins, chaque variable est indépendante du reste du graphe (**séparation**)
- Propriétés équivalentes sous certaines conditions (Théorème de Hammersley-Cliford)

Modèle graphique orienté (“Réseaux Bayésiens”)

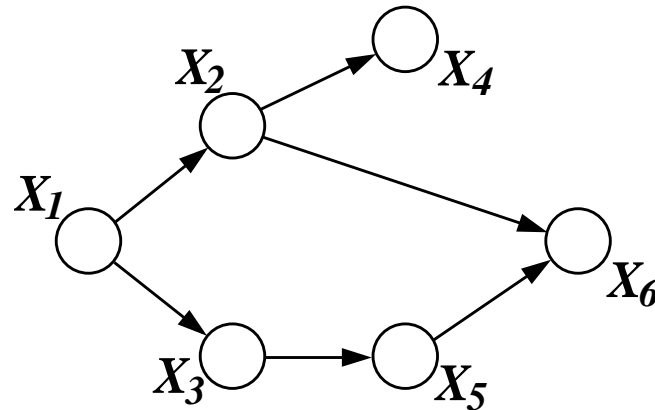


- DAG (Directed acyclic graph): graphe orienté sans cycle

- (1) Loi factorisée:
$$p(x) = \prod_{i=1}^n p(x_i | x_{\text{parents}(i)})$$

(pas de contrainte de normalisation)

Modèle graphique orienté (“Réseaux Bayésiens”)



- DAG (Directed acyclic graph): graphe orienté sans cycle

- (1) Loi factorisée:
$$p(x) = \prod_{i=1}^n p(x_i | x_{\text{parents}(i)})$$

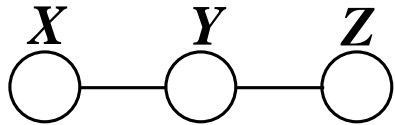
(pas de contrainte de normalisation)

- (2) Indépendance conditionnelles: chaque variable est indépendante de ses non-descendants sachant ses parents (**d-séparation**)

Modèles à trois noeuds

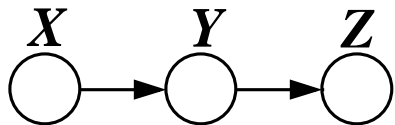
- Modèles triviaux

- Non orienté:



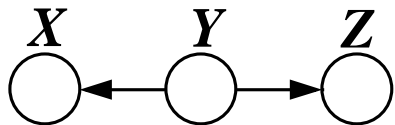
$$X \perp Z \mid Y$$

- Orienté 1 : Chaîne de Markov



$$X \perp Z \mid Y$$

- Orienté 2 : variable latente commune



$$X \perp Z \mid Y$$

- Orienté 3 : “Explaining away”



$$X \perp Z$$

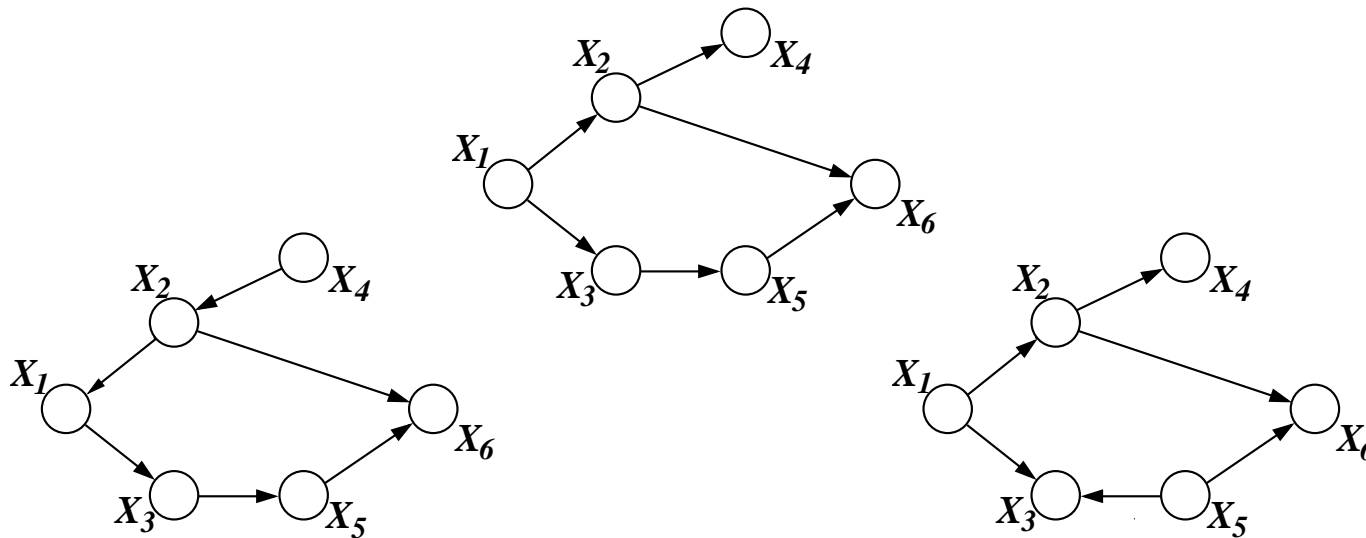
– exemple: X , Z deux dés indépendants, Y leur somme

Markov-équivalence

- Deux graphes G_1, G_2 sont **Markov-équivalents** ssi ils définissent la même famille de lois de probabilité
- G_1, G_2 non orientés: Markov-équivalence \Leftrightarrow égalité

Markov-équivalence

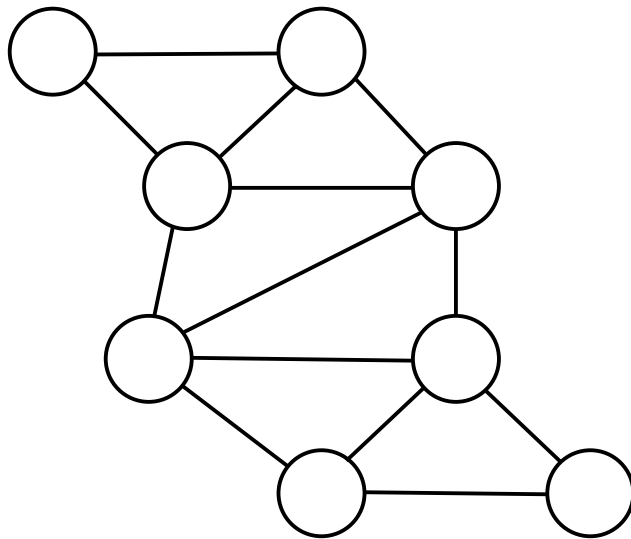
- Deux graphes G_1, G_2 sont **Markov-équivalents** ssi ils définissent la même famille de lois de probabilité
- G_1, G_2 non orientés: Markov-équivalence \Leftrightarrow égalité
- G_1, G_2 orientés: Markov-équivalence $\Leftrightarrow G_1$ et G_2 ont les mêmes “v-structures” et des graphes non orientés égaux



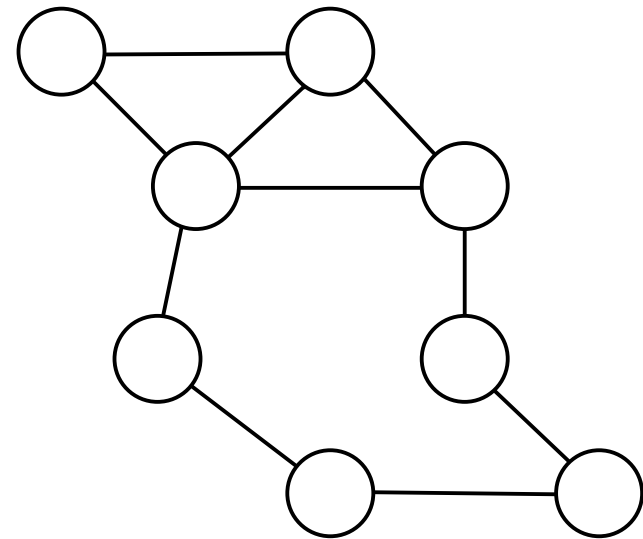
Graphes décomposables

- G_1 orienté, G_2 non orienté: Markov-équivalence possible pour les **graphes décomposables** (i.e., triangulés)
 - G non orienté est décomposable/triangulé ssi il n'existe pas de cycle d'ordre supérieur ou égal à 4 sans cordes.

Triangulé



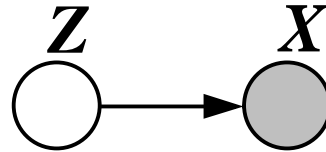
Non triangulé



Modèles classiques formulés en modèles graphiques

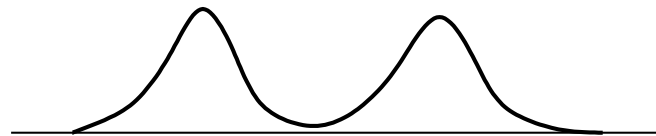
- Modèles de mélange
- Analyse factorielle
- Modèle de Markov caché
- Filtre de Kalman
- Modèles pour inférence Bayésienne
- Champs de Markov

Modèles de mélange

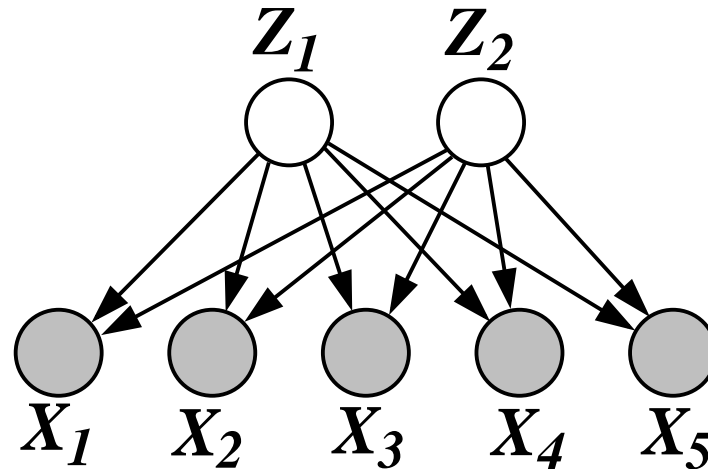


- $$p(x) = \sum_k p(z = k)p(x|z = k) = \sum_k \pi_k p_k(x)$$

- NB: moyen simple pour modéliser des variables aléatoires non Gaussiennes/non standard:

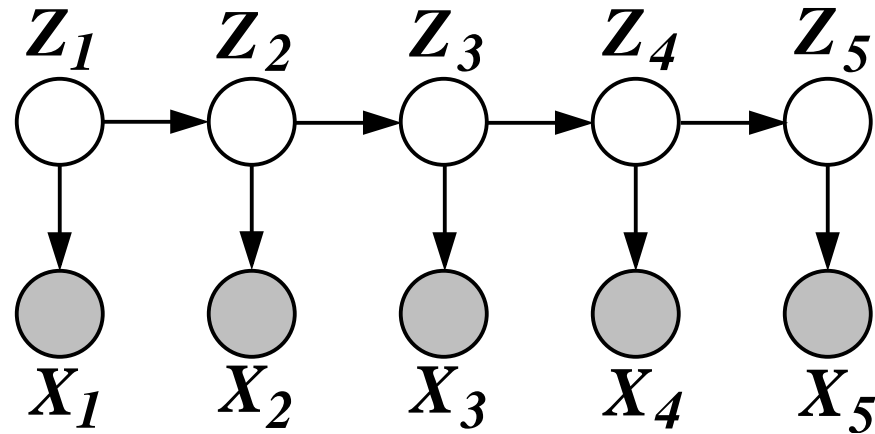


Analyse factorielle



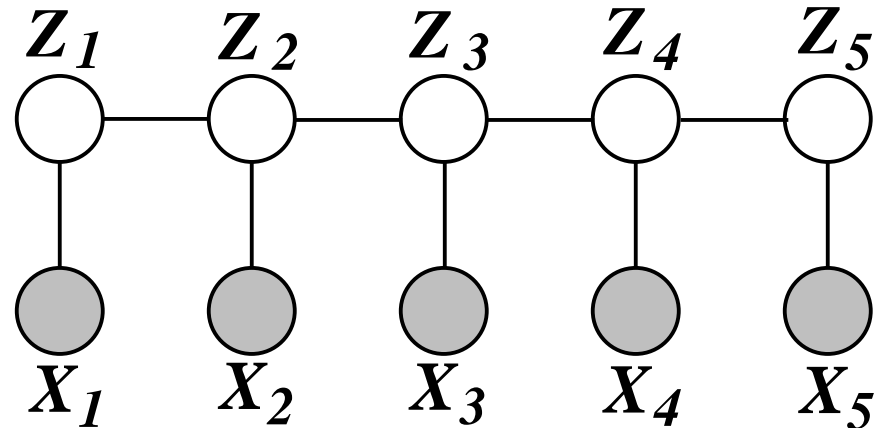
- $z_i \sim \mathcal{N}(0, 1)$, $x_j|z \sim \mathcal{N}(\sum_j w_{ji}z_i, \sigma_j^2)$
- NB: si $\sigma_j^2 = \sigma^2$, $\forall j$, équivalent à l'analyse en composantes principales (Tipping & Bishop, 1999)

Modèles de Markov cachés

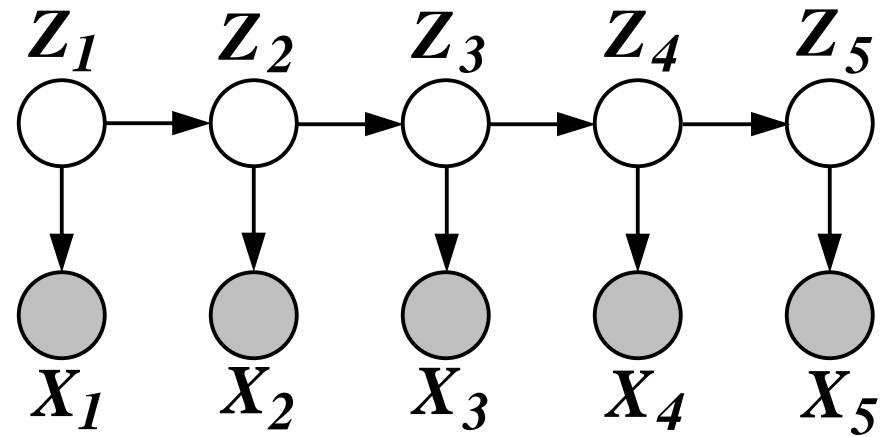


- Z_i discrets

- NB: équivalent à

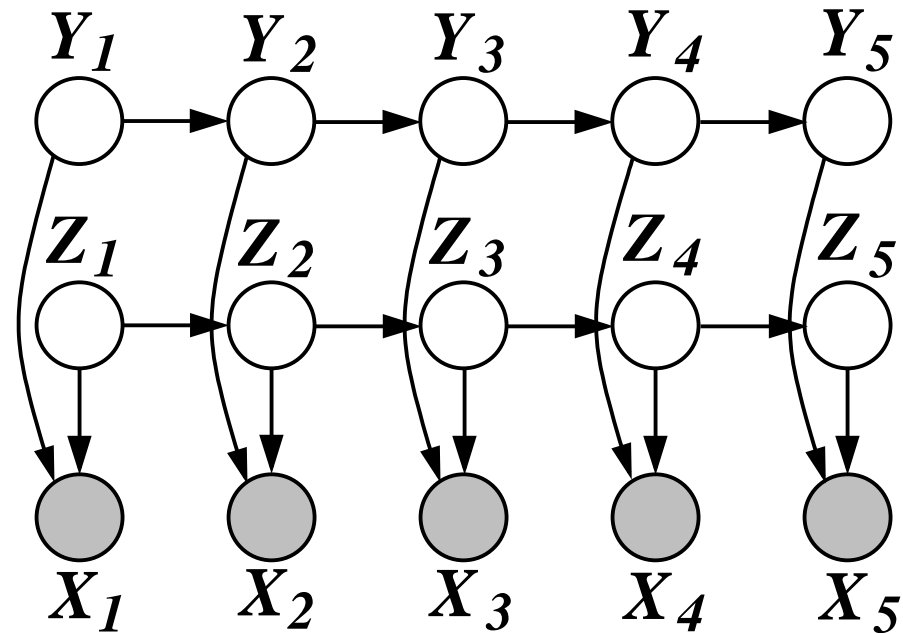


Filtre de Kalman



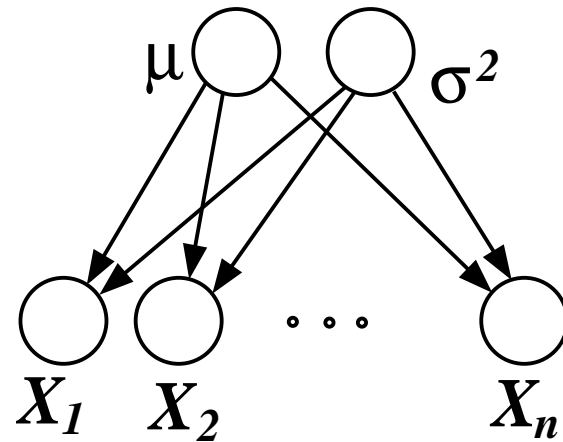
- Densités Gaussiennes

Modèles factoriels



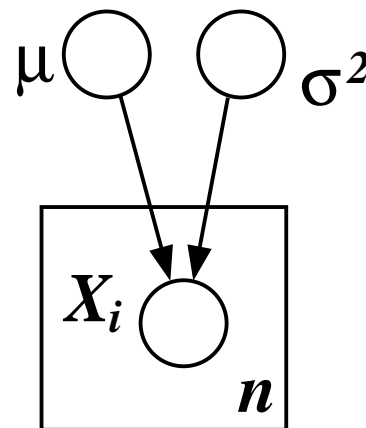
- Modèles de Markov cachés factoriels (Ghahramani & Jordan, 1997)
- Variables latentes discrètes et continues (switching Kalman filter)

Modèle pour inférence Bayésienne

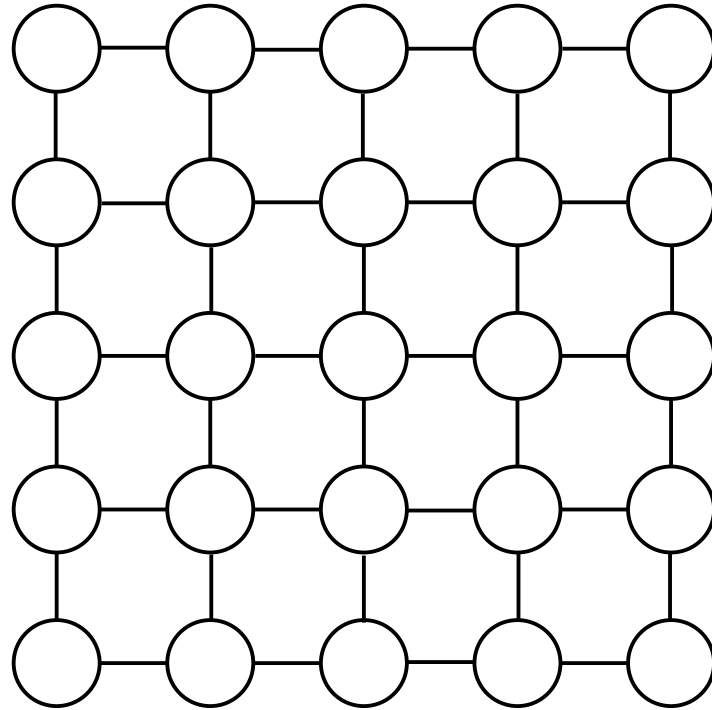


- Paramètres considérés comme variables aléatoires
- Exemple: $x_i | \mu, \sigma^2 \sim \mathcal{N}(\mu, \sigma^2)$, $\sigma^2 \sim \Gamma(\alpha, \beta)$, $\mu \sim \mathcal{N}(\mu_0, t^2)$

- Notation “plate” :



Champs de Markov



- Images/Pixels
- Physique statistique

Modèles graphiques probabilistes

Plan de la présentation

- Définition
- **Inférence**
- Apprentissage
 - Paramètres
 - Structure
- Applications et perspectives

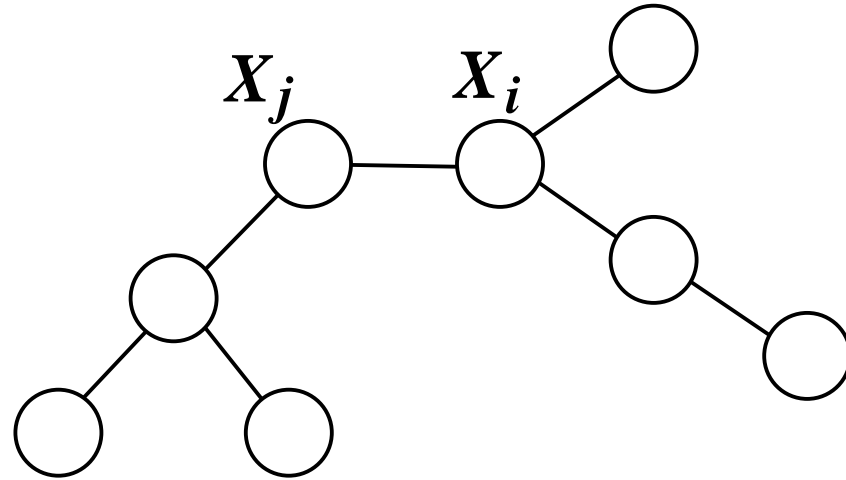
Inférence dans les modèles graphiques

- $\{1, \dots, n\} = O \cup C$, observations et variables cachées
- Calculer $p(x_C|x_O)$ ou $\arg \max_{x_C} p(x_C|x_O)$
- Inférence **naïve**: $p(x_C|x_O) = p(x_C, x_O)/p(x_O)$
et $p(x_O) = \sum_{x_C} p(x_C, x_O)$

Inférence dans les modèles graphiques

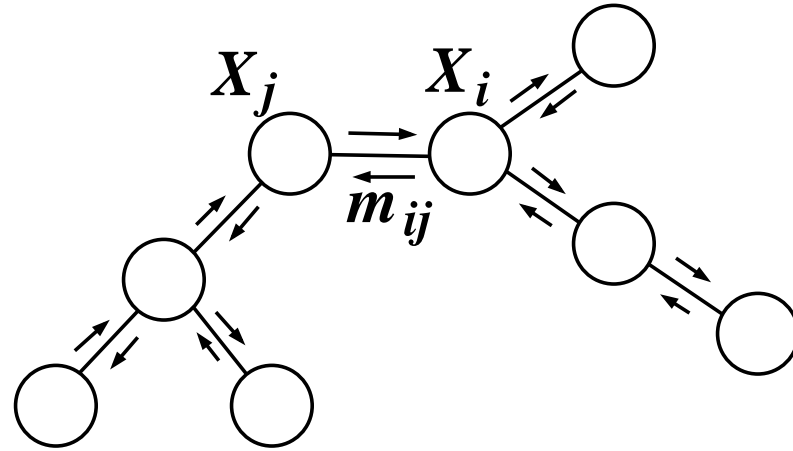
- $\{1, \dots, n\} = O \cup C$, observations et variables cachées
- Calculer $p(x_C|x_O)$ ou $\arg \max_{x_C} p(x_C|x_O)$
- Inférence **naïve**: $p(x_C|x_O) = p(x_C, x_O)/p(x_O)$
et $p(x_O) = \sum_{x_C} p(x_C, x_O)$
- Inférence exacte **non naïve**
 - utilise la factorisation des lois
 - cadre non orienté plus adapté
 - Tâche générique: calculer $Z = \sum_{x_1, \dots, x_n} \prod_{j=1}^p \phi_{C_j}(x_{C_j})$ ou
 $\arg \max_{x_1, \dots, x_n} \prod_{j=1}^p \phi_{C_j}(x_{C_j})$
- Inférence approchée

Inférence exacte dans les arbres



- Arbre (non orienté): graphe sans cycle
 - Potentiels: $\psi_i(x_i)$, $\psi_{ij}(x_i, x_j)$
 - $p(x) = \frac{1}{Z} \prod_i \psi_i(x_i) \prod_{i,j} \psi_{ij}(x_i, x_j)$
 - But: calculer $Z = \sum_{x_1, \dots, x_n} \prod_i \psi_i(x_i) \prod_{i,j} \psi_{ij}(x_i, x_j)$

Inférence exacte dans les arbres



- But: calculer $Z = \sum_{x_1, \dots, x_n} \prod_i \psi_i(x_i) \prod_{i,j} \psi_{ij}(x_i, x_j)$
- Propagation de $2n$ messages le long des arêtes

$$m_{ij}(x_j) = \sum_{x_i} \psi_i(x_i) \psi_{ij}(x_i, x_j) \prod_{k \in \mathcal{N}(i) \setminus \{j\}} m_{ki}(x_i)$$

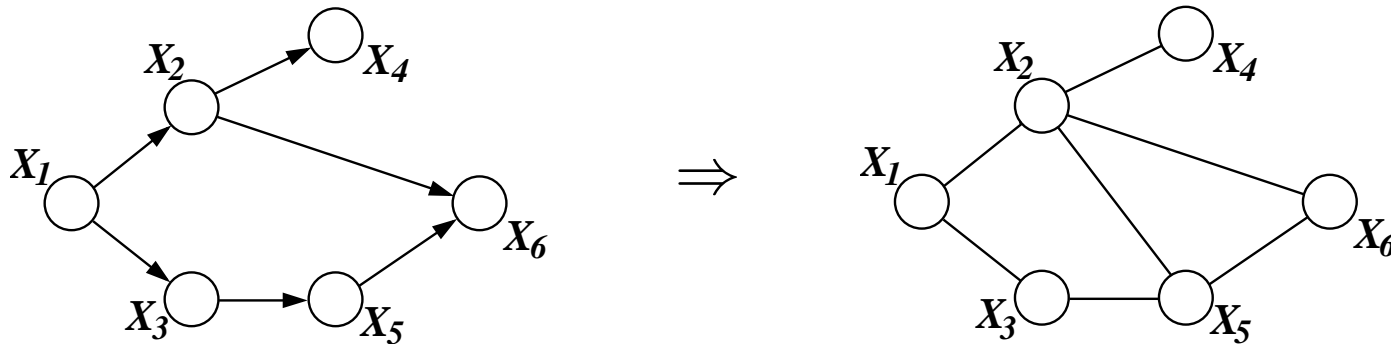
- Complexité linéaire
- NB: configuration la plus probable: remplacer \sum par \max

Inférence exacte

(Lauritzen & Spiegelhalter, 1988)

- Transformation des graphes en arbres non orientés

1. **Moralisation** des modèles graphiques orientés

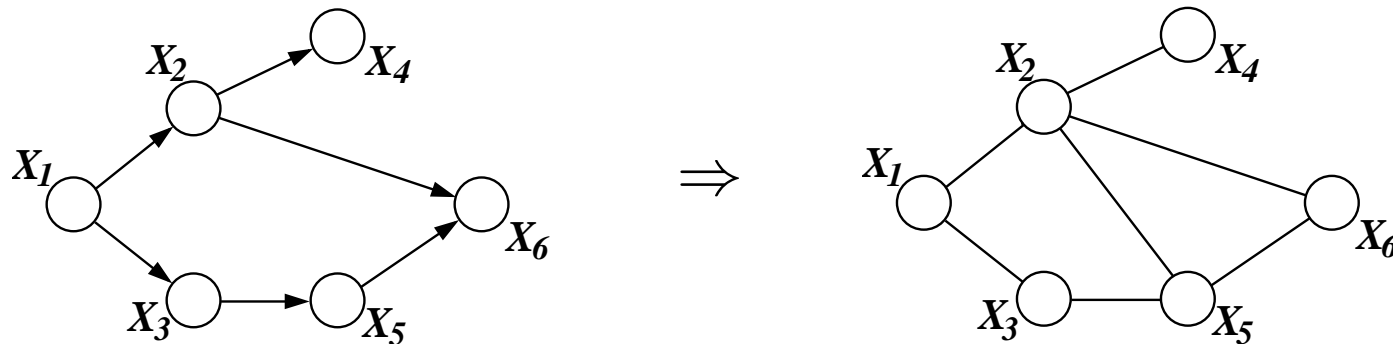


Inférence exacte

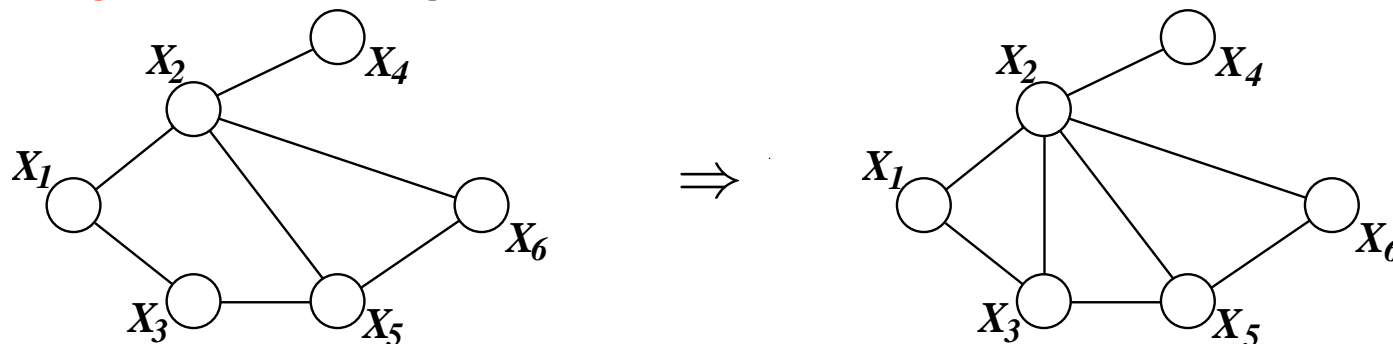
(Lauritzen & Spiegelhalter, 1988)

- Transformation des graphes en arbres non orientés

1. **Moralisation** des modèles graphiques orientés



2. **Triangulation** du graphe non orienté

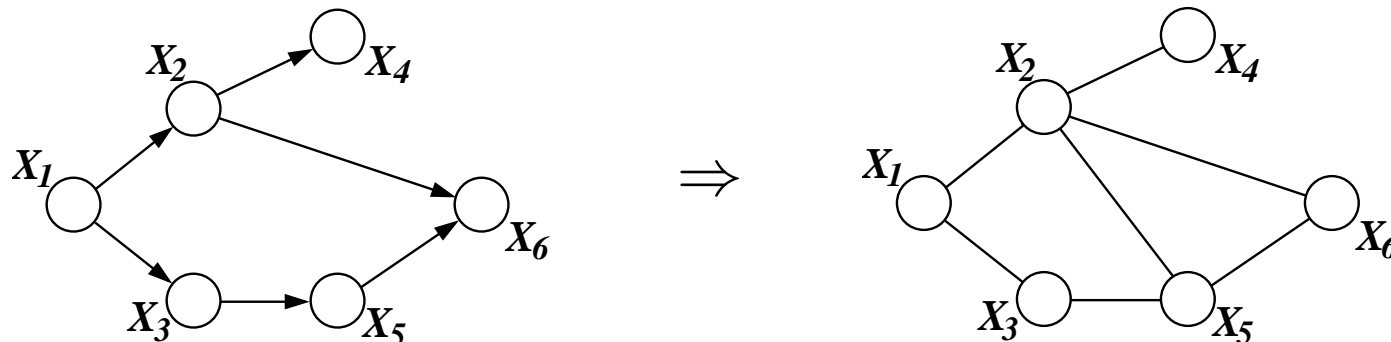


Inférence exacte

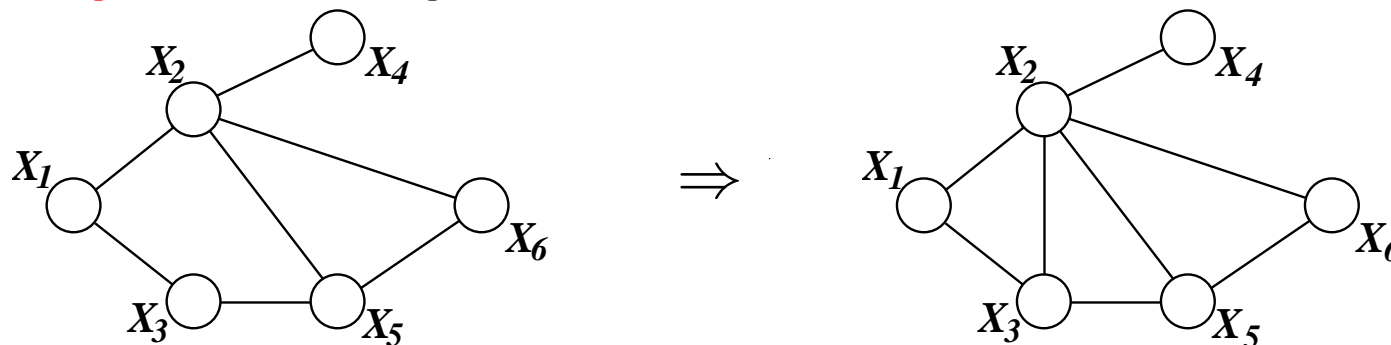
(Lauritzen & Spiegelhalter, 1988)

- Transformation des graphes en arbres non orientés

- Moralisation** des modèles graphiques orientés



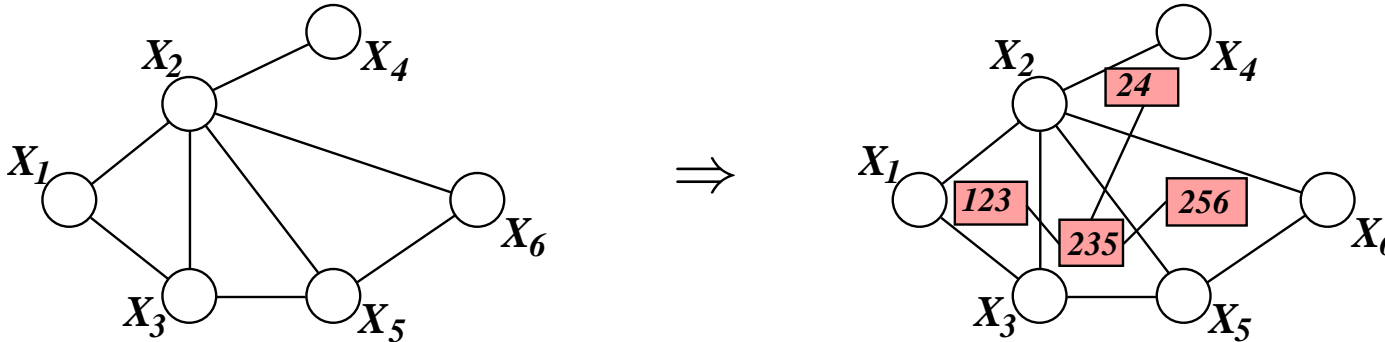
- Triangulation** du graphe non orienté



- Construction d'un **arbre de cliques**

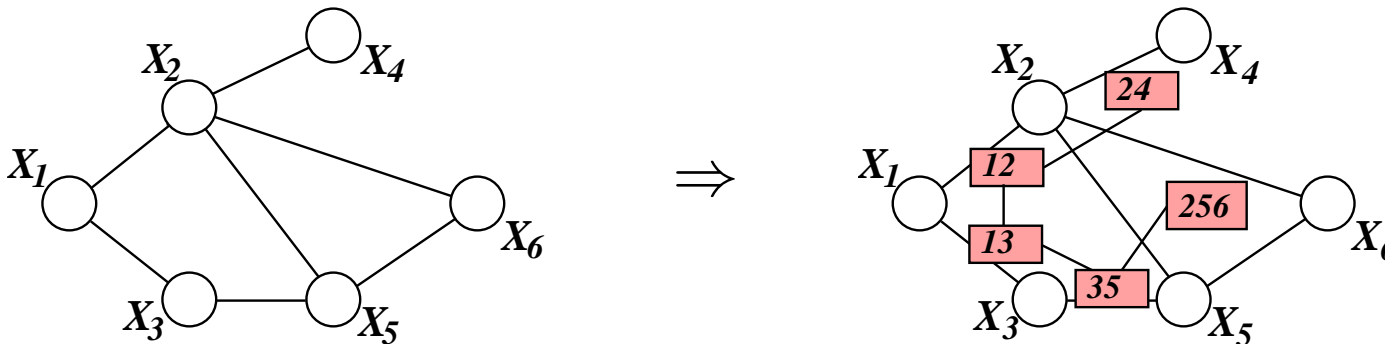
Construction d'un arbre de cliques

- Arbre de cliques



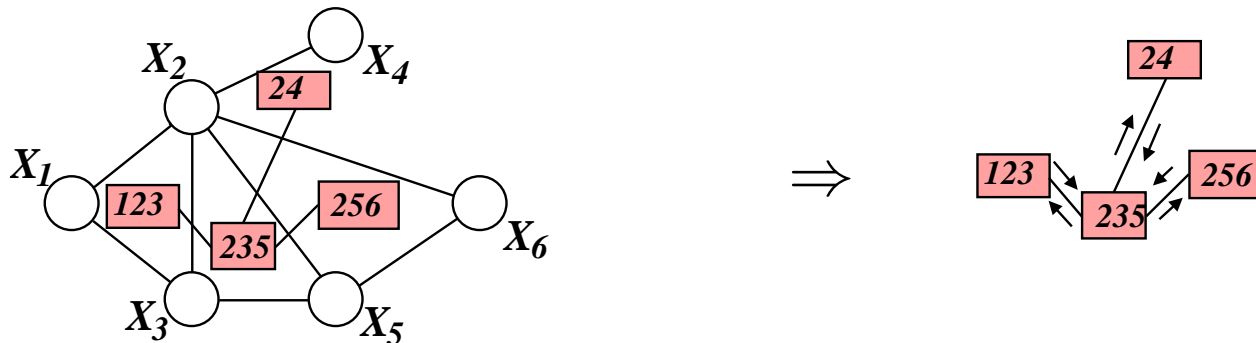
- Si le graphe est triangulé, arbre de clique = arbre de jonctions (propriété d'intersection courante)

- Sinon...



Propagation des messages

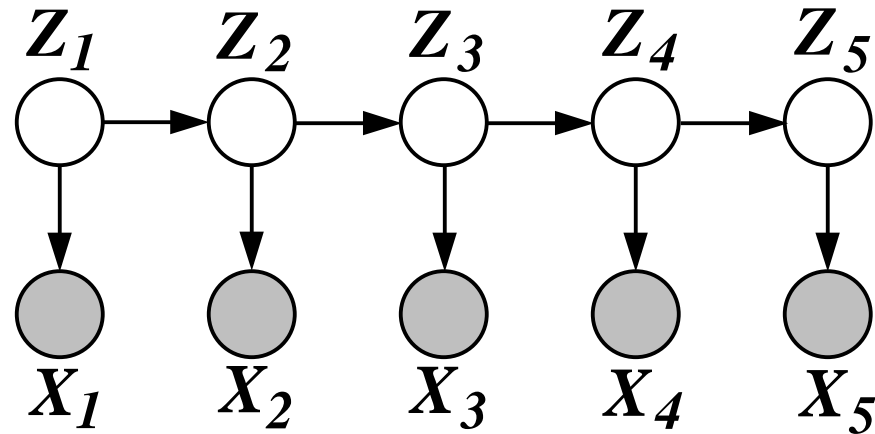
- Arbre de jonctions



- Propagation de $2m$ messages ($m =$ nombre de cliques), “MAX” ou “SUM”
- Cohérence locale \Rightarrow cohérence globale !
- Complexité: exponentielle dans le cardinal de la plus grande clique
- Largeur arborescente (treewidth)
= Cardinal de la plus grande clique d’un graphe triangulé optimal

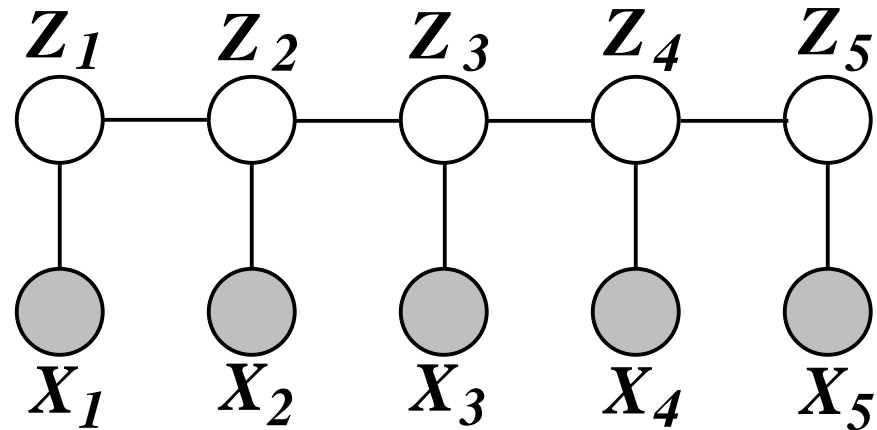
Inférence

Modèle de Markov cachés



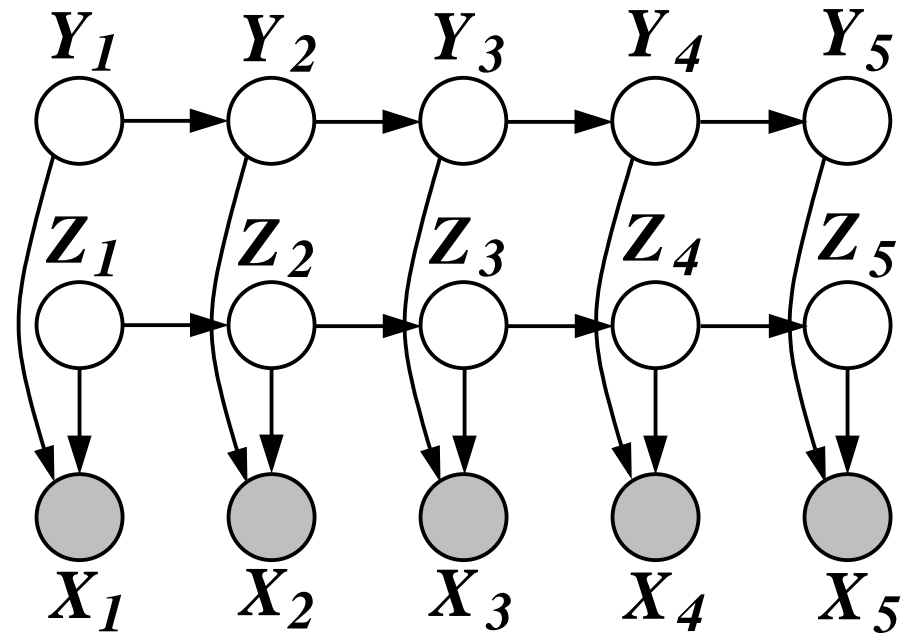
- Z_i discrets
- Max-propagation = algorithme de Viterbi

Filtre de Kalman



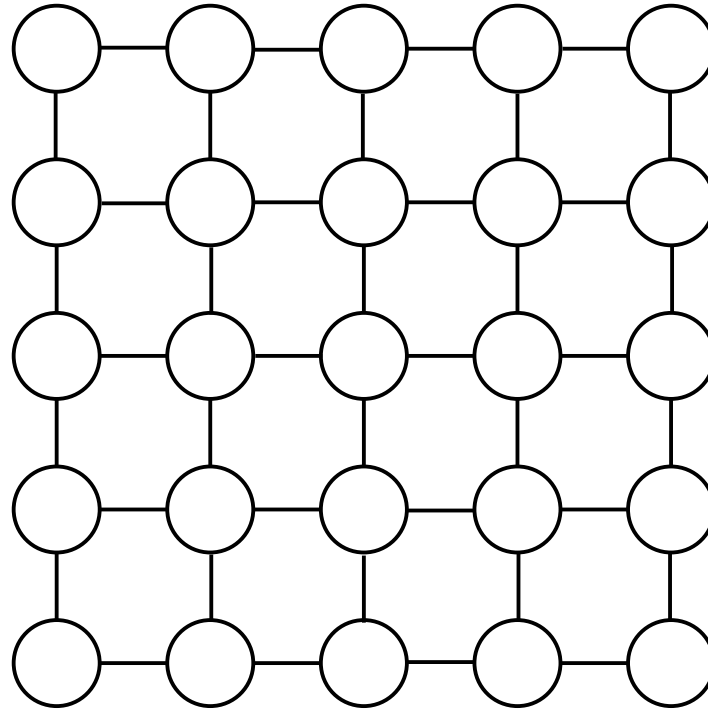
- Densités Gaussiennes
- Propagation de vecteurs moyennes et de matrice de covariances

Modèles factoriels



- Modèles de Markov cachés factoriels
- Si m chaînes de Markov latentes, complexité $O(2^{m+1})$ au lieu de $O(2^{2m})$ (cas binaire)
- Données hétérogènes ?

Champs de Markov



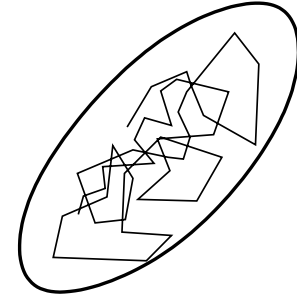
- Largeur arborescente non bornée

Problèmes de l'inférence exacte

- (1) Grande largeur arborescente
- (2) Données hétérogènes
- Inférence approchée
 - Méthodes stochastiques (MCMC)
 - Méthodes variationnelles

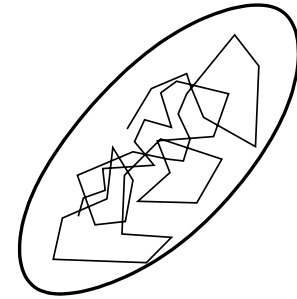
Markov chain Monte Carlo (MCMC)

- Echantillonner $p(x_{HC}|x_O)$ à l'aide d'une chaîne de Markov dont la loi stationnaire est exactement $p(x_C|x_O)$



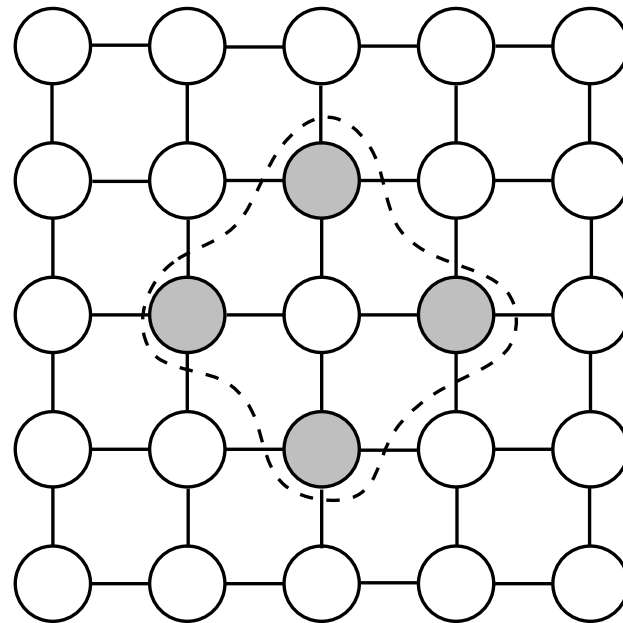
Markov chain Monte Carlo (MCMC)

- Échantillonner $p(x_{HC}|x_O)$ à l'aide d'une chaîne de Markov dont la loi stationnaire est exactement $p(x_C|x_O)$



- Construction simple de la loi de transition: échantillonnage de Gibbs (Geman & Geman, 1984)

- Itération: pour i de 1 à n , échantillonner $p(x_i|x_{\text{voisins}(i)})$
- “burn-in”



Markov chain Monte Carlo (MCMC)

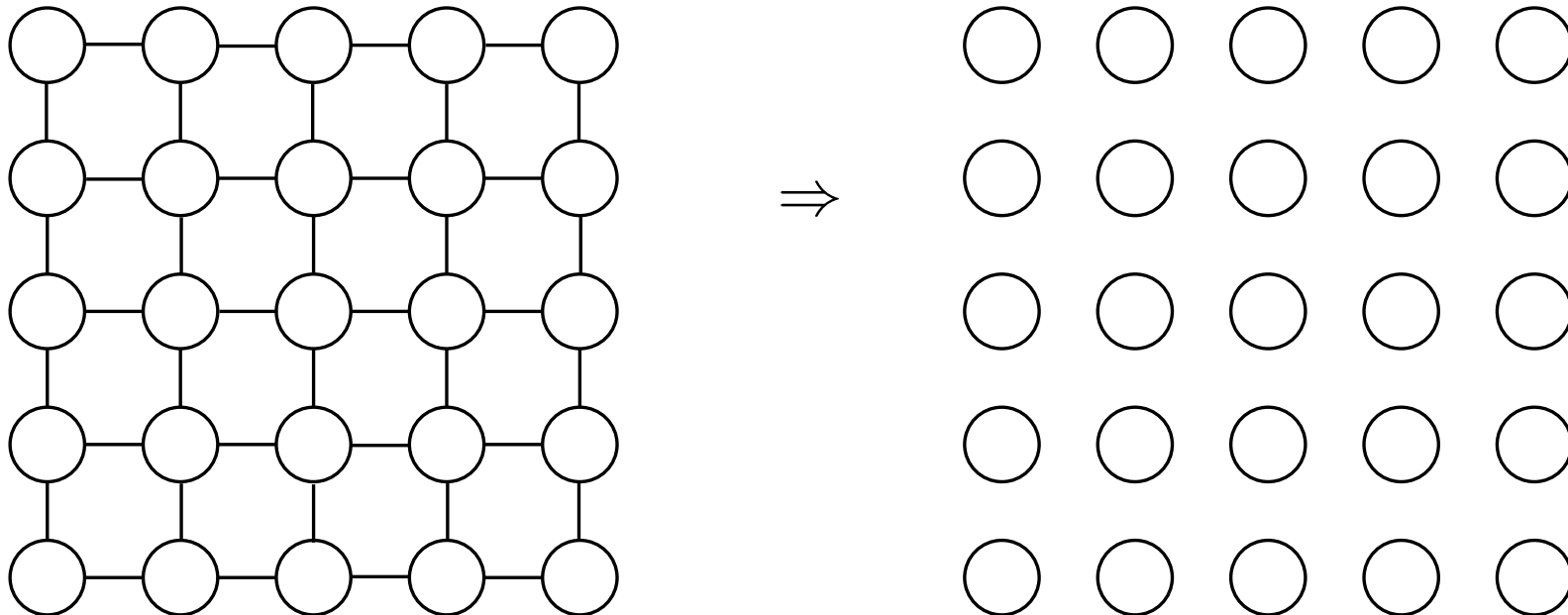
- Avantages
 - converge vers l'inférence exacte
 - peut toujours être utilisé
- Inconvénients
 - Non triviale à mettre en oeuvre correctement
 - Lenteur

Méthodes variationnelles d'inférence (Jordan & al., 1997)

- Approcher $p(x)$ par une loi $q(x, \lambda)$ plus simple
 - Optimization (efficace) du paramètre variationnel λ

Méthodes variationnelles d'inférence (Jordan & al., 1997)

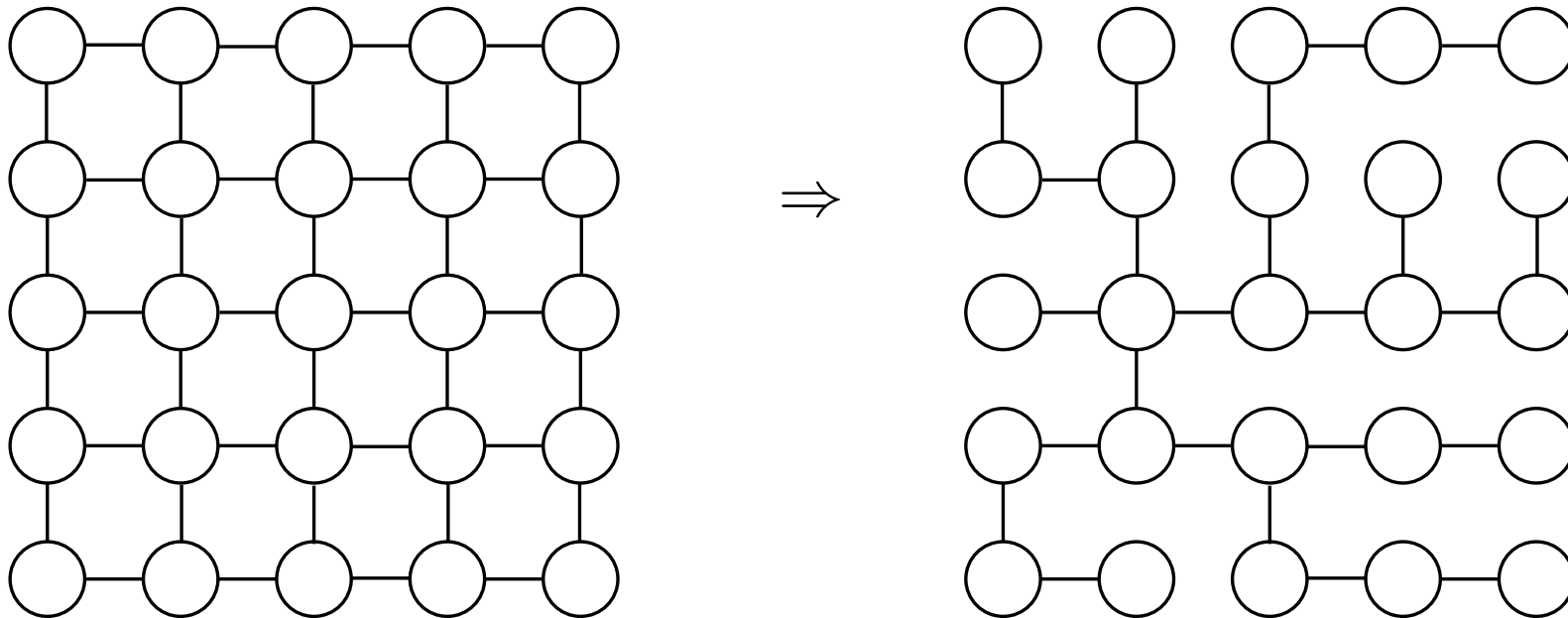
- Approcher $p(x)$ par une loi $q(x, \lambda)$ plus simple
 - Optimization (efficace) du paramètre variationnel λ
- Modèles graphiques: $q(x, \lambda)$ obtenue en enlevant des arêtes



Méthode du **champ moyen** (physique statistique)

Méthodes variationnelles d'inférence (Jordan & al., 1997)

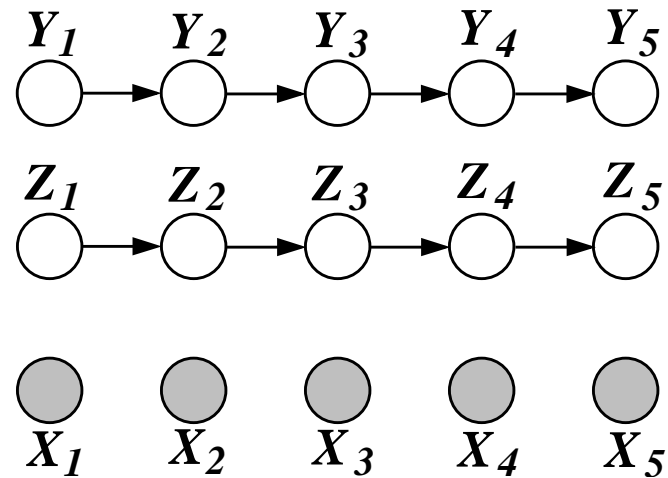
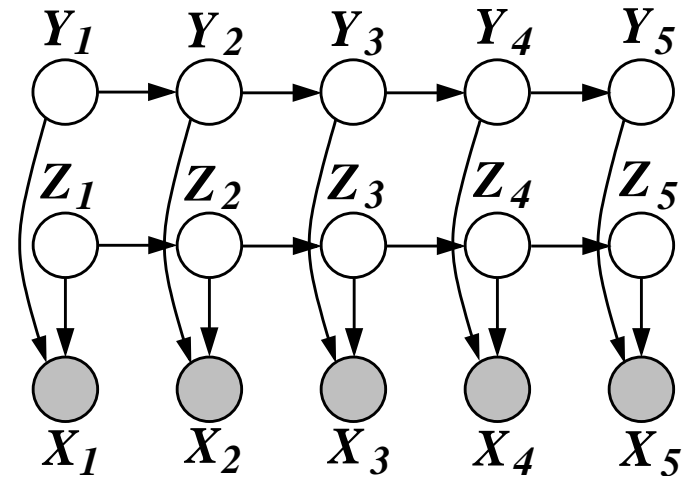
- Approcher $p(x)$ par une loi $q(x, \lambda)$ plus simple
 - Optimization (efficace) du paramètre variationnel λ
- Modèles graphiques: $q(x, \lambda)$ obtenue en enlevant des arêtes



Méthode **structurée** : utilisation de sous-structures simples

Méthodes variationnelles d'inférence

Modèle factoriel



Méthodes variationnelles d'inférence

- Avantages
 - Déterministe
 - Simple à mettre en oeuvre
- Inconvénients
 - ne converge pas vers l'inférence exacte

Modèles graphiques probabilistes

Plan de la présentation

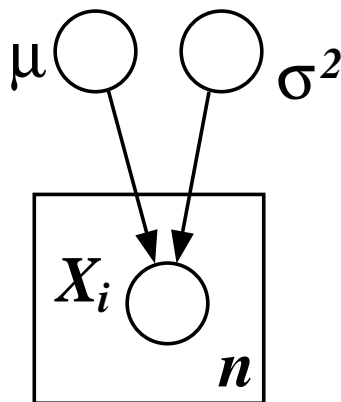
- Définition
- Inférence
- Apprentissage
 - Paramètres
 - Structure
- Applications et perspectives

Apprentissage des paramètres

- Nécessaire en pratique
- Hypothèse: structure fixe (graphe + paramétrisation des lois locales)
- Cadre **fréquentiste**: estimateur de maximum de vraisemblance bien adapté aux modèles graphiques
- Cadre **Bayésien**

Apprentissage des paramètres

- Cadre Bayésien: paramètres considérés comme variables aléatoires
 - Probabilités *a priori* $p(\theta)$, *a posteriori* $p(\theta|x)$
 - Formule de Bayes: $p(\theta|x) = \frac{p(x|\theta)p(\theta)}{p(x)}$
 - Apprentissage “=” inférence
 - “Vrais Bayésiens” : jamais d’estimateurs ponctuels
 - “Faux Bayésiens” : maximum a posteriori (MAP)



- Deux cadres asymptotiquement équivalents

“Réseaux Bayésiens Bayésiens” et “réseaux Bayésiens non Bayésiens” ?

Données complètes

Maximum de vraisemblance

- Modèles orientés: $p(x|\theta) = \prod_{i=1}^n p(x_i|x_{\text{parents}(i)}, \theta_i)$
 - Découplage du maximum de vraisemblance (\forall treewidth !)
 - Estimations locales
 - Exemples: modèles discrets / Gaussiens

Données complètes

Maximum de vraisemblance

- Modèles orientés: $p(x|\theta) = \prod_{i=1}^n p(x_i|x_{\text{parents}(i)}, \theta_i)$
 - Découplage du maximum de vraisemblance (\forall treewidth !)
 - Estimations locales
 - Exemples: modèles discrets / Gaussiens
- Modèles non orientés: $p(x|\theta) = \frac{1}{Z(\theta_1, \dots, \theta_p)} \prod_{j=1}^p \phi_{C_j}(x_{C_j}, \theta_j)$
 - Pas de découplage du maximum de vraisemblance
 - Algorithmes itératifs (IPF, IS). Cf. Della Pietra et. al (1997), Jirousek, 1995.

Données incomplètes

Algorithme Expectation-Maximisation (EM)

- Modèle $p(x, z|\theta)$
 z non observée (données manquantes ou modèles de mélange)
- log vraisemblance: $\log p(x|\theta) = \log \sum_z p(x, z|\theta)$
- Algorithme itératif
 - E-step: calculer $J(\theta) = E_{p(z|x,\theta)} \log p(x, z|\theta)$
 - M-step: maximiser $J(\theta)$ par rapport à θ
- Propriétés de convergence
 - Croissance de la vraisemblance à chaque itération
 - Minimas locaux

Apprentissage de la structure

- Deux visions des modèles graphiques → deux types de méthodes
 - Apprentissage de la structure par **tests d'indépendances conditionnelles** (IC/PC: Pearl, 2000, Spirtes & al, 1993)
 - * Problème de complexité
 - * Problème de cohérence/fiabilité

Apprentissage de la structure

- Deux visions des modèles graphiques → deux types de méthodes
 - Apprentissage de la structure par **tests d'indépendances conditionnelles** (IC/PC: Pearl, 2000, Spirtes & al, 1993)
 - * Problème de complexité
 - * Problème de cohérence/fiabilité
 - Apprentissage de la structure par des méthodes statistiques de **sélection de modèles**
 - * Utilisation de la loi factorisée
 - * Calcul d'un score pour chaque structure
 - * Fouille dans l'espace des graphes **orientés**

Apprentissage de la structure

Scores pour données complètes - Modèle orienté

- Cadre Bayésien
 - Calcul de la probabilité marginale du modèle
 - Formule analytique dans certains cas (e.g., BDe pour discrets/Gaussiens, Heckerman & al, 1995)
- Cadre fréquentiste

Apprentissage de la structure

Scores pour données complètes - Modèle orienté

- Cadre fréquentiste
 - Le maximum de vraisemblance ne permet pas de faire de la sélection de modèles

Apprentissage de la structure

Scores pour données complètes - Modèle orienté

- Cadre fréquentiste
 - Le maximum de vraisemblance ne permet pas de faire de la sélection de modèles
 - Pénaliser les modèles plus complexes: AIC - BIC/MDL

$$J(G) = \sum_{i=1}^n I(x_i, x_{\pi_i(G)}) + \text{cste} \times \sum_{i=1}^n \#(i, \pi_i(G))$$

I information mutuelle calculée à l'aide des distributions empiriques (multinomiales, Gaussiennes)

Apprentissage de la structure

Scores pour données complètes - Modèle orienté

$$J(G) = \sum_{i=1}^n I(x_i, x_{\pi_i(G)}) + \text{cste} \times \sum_{i=1}^n \#(i, \pi_i(G))$$

- Optimisation du score
 - Arbres
 - * Problème d'arbre couvrant de poids maximal
 - * Algorithme de Chow-Liu (1968!)
 - Cas général: optimization gloutonne
 - Problèmes de Markov-équivalence

Apprentissage de la structure

Données incomplètes

- Structural EM (Friedman, 1988)
 - Alternner entre apprentissage des paramètres et apprentissage de la structure
- Problèmes de minimas locaux

Modèles graphiques probabilistes

Plan de la présentation

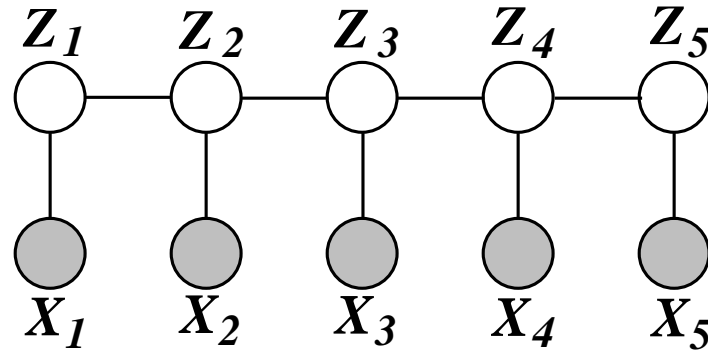
- Définition
- Inférence
- Apprentissage
 - Paramètres
 - Structure
- Applications et perspectives

Perspectives

- Applications
 - Bio, image, texte, son, etc...
- Thèmes récents/intéressants
 - Inférence, inférence, inférence ...
 - Modèles graphiques discriminants
 - Modèles causaux
 - Méthodes non-paramétriques
 - Filtres particuliers

Modèles graphiques discriminants

Conditional random fields (CRF)



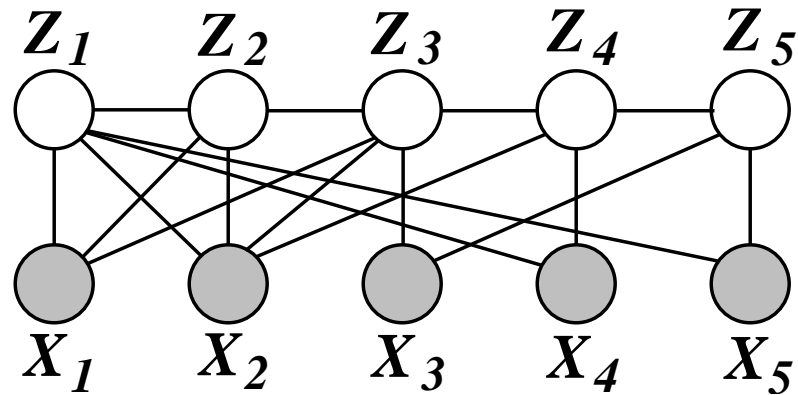
- Situation courante:
 - x toujours observé, but=prédire z
 - Apprentissage avec données complètes: $\max_{\theta} p(x, z|\theta)$
 - Utilisation du modèle: $\arg \max_z p(x, z|\theta) = \arg \max_z p(z|x, \theta)$
- Modèles graphiques discriminants:
 1. Apprentissage **discriminant**
 2. Interactions **longue portée** possibles

Modèles graphiques discriminants

- Apprentissage **discriminant**
 - $\max_{\theta} p(z|x, \theta)$ au lieu de $\max_{\theta} p(z, x|\theta)$
 - cf. régression logistique vs. analyse linéaire discriminante
 - Complexité numérique supérieure
 - Modèle “correct/incorrect”

Modèles graphiques discriminants

- Interactions **longue portée**



- Biologie, traitement du texte (Lafferty & al, 2001)

Causalité

- La corrélation n'implique pas la causalité
- En général, le sens d'une arête dans un modèle orienté ne correspond pas à une relation de causalité

Causalité

- La corrélation n'implique pas la causalité
- En général, le sens d'une arête dans un modèle orienté ne correspond pas à une relation de causalité
- Sans hypothèses supplémentaires, des relations de causalité ne peuvent pas être inférée sans **interventions**

Causalité

- La corrélation n'implique pas la causalité
- En général, le sens d'une arête dans un modèle orienté ne correspond pas à une relation de causalité
- Sans hypothèses supplémentaires, des relations de causalité ne peuvent pas être inférée sans **interventions**
- Ceci dit...
 - Modèles graphiques causaux (Pearl, 2000, Spirtes & al, 1993)

Modèles causaux

- Modèles orientés
- Chaque $p(x_i|x_{\pi_i})$ représente un processus stochastique autonome
 - Permet les interventions
- Inférence causale
- Apprentissage de relations de causalité
 - Rappel: La corrélation n'implique pas la causalité
 - Hypothèse de suffisience causale
 - Apprentissage sans expérimentation
 - Apprentissage avec expérimentation

Méthodes non-paramétriques

- Hypothèses paramétriques classiques
 - Données binaires: loi de Bernoulli
 - Données catégoriques: loi multinomiale
 - Données continues: loi Gaussienne

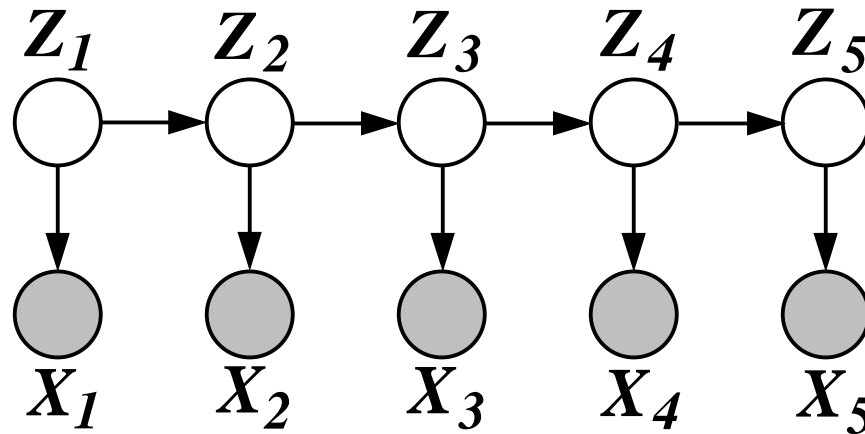
Méthodes non-paramétriques

- Hypothèses paramétriques classiques
 - Données binaires: loi de Bernoulli
 - Données catégoriques: loi multinomiale
 - Données continues: loi Gaussienne
 - Familles exponentielles (Poisson, Gamma, Beta) pour $p(x)$
 - Modèles linéaires généralisés (GLIM) pour $p(y|x)$

Méthodes non-paramétriques

- Hypothèses paramétriques classiques
 - Données binaires: loi de Bernoulli
 - Données catégoriques: loi multinomiale
 - Données continues: loi Gaussienne
 - Familles exponentielles (Poisson, Gamma, Beta) pour $p(x)$
 - Modèles linéaires généralisés (GLIM) pour $p(y|x)$
- Non-paramétrique: permet de s'affranchir d'hypothèses restrictives sur les lois locales
 - par obligation, ignorance, ou paresse...
 - sans complexité numérique additionnelle majeure
- Cf. tutoriel de Michael Jordan (UC Berkeley), NIPS 2005

Filtres particulières pour modèles graphiques dynamiques



- Données, dynamique, et/ou observations complexes (i.e., non Gaussiennes)
- Faible largeur arborescente, mais propagation délicate
- Méthodes particulières: mise à jour efficace d'un ensemble de particules qui suivent la loi $p(z_1, \dots, z_t | x_1, \dots, x_t)$ pour $t = 1, \dots$
- cf. Murphy (2002), Doucet & al. (2001)

Conclusion

- Modèle graphique probabiliste = outil flexible de modélisation
- Echanges théorie/applications

Références

- M. Tipping and C. Bishop. Probabilistic principal component analysis. *Journal of the Royal Statistical Society B*, 61, 611-622, 1999
- Z. Ghahramani and M. I. Jordan. Factorial hidden markov models. *Mach. Learn.*, 29(2-3):245–273, 1997.
- S. L. Lauritzen and D. J. Spiegelhalter, Local computations with probabilities on graphical structures and their application to expert systems, *J. Royal Stat. Society*, B 50 (1988), no. 2, 157–223.
- S. L. Lauritzen. *Graphical Models*. Clarendon Press, Oxford, 1996.
- F. V. Jensen. "Bayesian Networks and Decision Graphs". Springer. 2001.
- J. Pearl. "Causality". Cambridge. 2000.
- R. G. Cowell, A. P. Dawid, S. L. Lauritzen and D. J. Spiegelhalter. "Probabilistic Networks and Expert Systems". Springer-Verlag. 1999.
- M. I. Jordan (ed). "Learning in Graphical Models". MIT Press. 1998.
- S. Roweis & Z. Ghahramani, 1999. A Unifying Review of Linear Gaussian Models, *Neural Computation* 11(2) (1999) pp.305-345
- R. McEliece and S. M. Aji, 2000. The Generalized Distributive Law, *IEEE Trans. Inform. Theory*, vol. 46, no. 2 (March 2000), pp. 325–343.
- Kschischang, B. Frey and H. Loeliger, 2001. Factor graphs and the sum product algorithm, *IEEE Transactions on Information Theory*, February, 2001.

- M. I. Jordan, Z. Ghahramani, T. S. Jaakkola, and L. K. Saul, 1997. "An introduction to variational methods for graphical models."
- D. MacKay, 1998. "An introduction to Monte Carlo methods".
- Spirtes, P., Glymour, C. and Scheines, R. (1993) Causation, Prediction, and Search. Springer-Verlag, NY.
- D. Heckerman, D. Geiger, D. M. Chickering, Learning Bayesian networks: The combination of knowledge and statistical data, Machine Learning 20 (1995) 197–243,
- C. Chow and C. Liu. 1968. Approximating discrete probability distributions with dependence trees. IEEE Transactions on Information Theory, 14(3):462–467.
- N. Friedman. The Bayesian structural EM algorithm. In Proc. UAI, 1998.
- J. Lafferty, A. McCallum, F. Pereira. Conditional Random Fields: Probabilistic Models for Segmenting and Labeling Sequence Data. In Proc. ICML, 2001.
- Kevin Murphy. Dynamic Bayesian Networks: Representation, Inference and Learning. PhD thesis, UC Berkeley, Computer Science Division, July 2002.
- Doucet, A., de Freitas, J.F.G. and Gordon, N.J. (2001). Sequential Monte Carlo Methods in Practice. New York: Springer-Verlag.
- S. Geman and D. Geman. Stochastic Relaxation, Gibbs Distributions, and the Bayesian Restoration of Images. IEEE Trans. PAMI, 6:721–741, 1984.
- S. Della Pietra, V. J. Della Pietra, and J. D. Lafferty. Inducing features of random fields. IEEE Trans. PAMI, 19(4):380–393, 1997.
- Jirousek, R. & Preucil, S. (1995). On the effective implementation of the iterative proportional fitting procedure, Computational Statistics & Data Analysis. 19: 177-189.